
Computergraphik II

Prof. Dr. Andreas Kolb

Fachgruppe Computergraphik und Multimediasysteme

Universität Siegen – Fachbereich 12

Version: 9. November 2004

4.1 Grundlagen Polygon-Netze

- Motivation:**
1. Echtzeit-Graphik: Umwandlung Geometrien in Polygone/Dreiecke
 2. Viele Geometrien liegen nur in Polygonform vor

Begriffe: *Polygon-Netze* bestehen aus

- Menge von *Punkten/Vertices*: $\mathcal{V} = \{\mathbf{V}_i\}, i = 1, \dots, N_V$
- Menge von *Kanten*: $\mathcal{E} = \{\mathbf{E}_{ij}\}, \mathbf{E}_{ij} = \overline{\mathbf{V}_i \mathbf{V}_j}, i, j \in \{1, \dots, N_V\}, N_E = |\mathcal{E}|$
- Menge von *ebenen Polygonen/Flächen*: $\mathcal{F} = \{\mathbf{F}_i\}, i = 1, \dots, N_F$

Folgende Beziehungen gibt es zwischen diesen Entitäten:

Adjazenz (angrenzend): $\overline{\mathbf{V}_i \mathbf{V}_j}$ grenzt an Punkte $\mathbf{V}_i, \mathbf{V}_j$, Polygon \mathbf{F} grenzt an entspr. Kanten und Punkte

Valenz: Anzahl der Kanten, die an einem Punkt angrenzen

1-Nachbarschaft von \mathbf{V} : Alle (direkt) angrenzenden Polygone, Kanten und Punkte

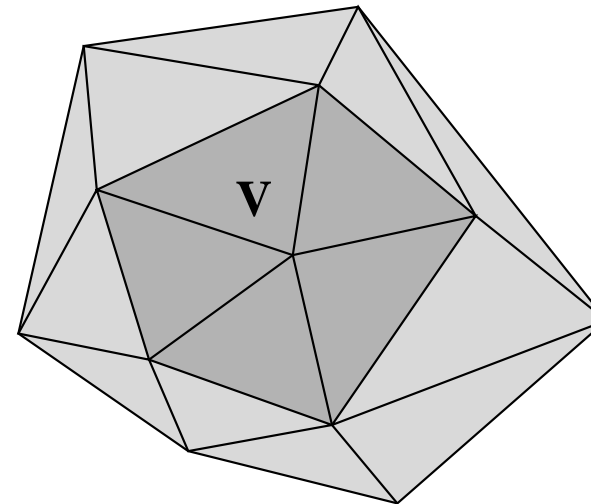
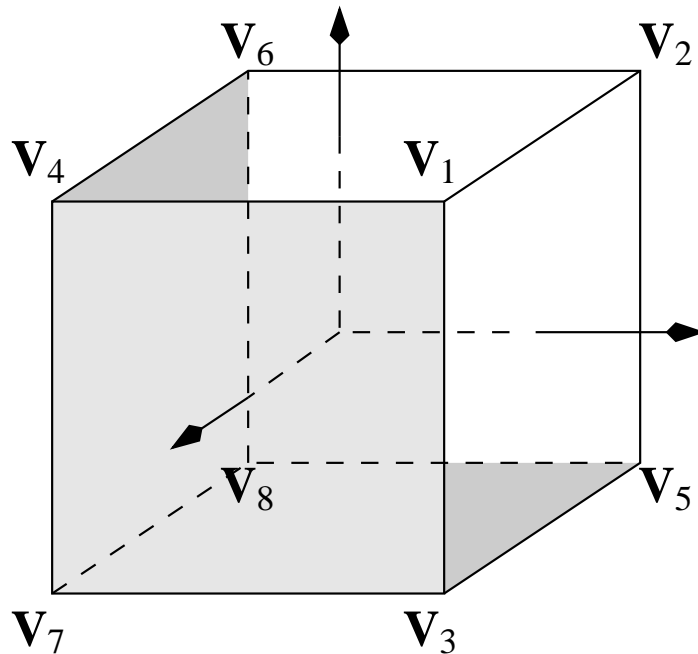
n -Nachbarschaft von \mathbf{V} : Die 1-Nachbarschaft der $(n - 1)$ -Nachbarschaft

4.1 Grundlagen Polygon-Netze



Beispiel: Würfel

- Punkte: $\{(1, 1, 1), (1, 1, -1), (1, -1, 1), (-1, 1, 1), (1, -1, -1), (-1, 1, -1), (-1, -1, 1), (-1, -1, -1)\}$
- Kanten: $\mathcal{E} = \{\mathbf{E}_{1,2}, \mathbf{E}_{1,3}, \mathbf{E}_{1,4}, \mathbf{E}_{2,5}, \mathbf{E}_{2,6}, \mathbf{E}_{3,5}, \mathbf{E}_{3,7}, \mathbf{E}_{4,6}, \mathbf{E}_{4,7}, \mathbf{E}_{5,8}, \mathbf{E}_{6,8}, \mathbf{E}_{7,8}\}$
- Flächen: $\mathcal{F} = \{\{1, 3, 5, 2\}, \{1, 4, 7, 3\}, \{1, 2, 6, 4\}, \{8, 5, 3, 7\}, \{8, 6, 2, 5\}, \{8, 7, 4, 6\}\}$



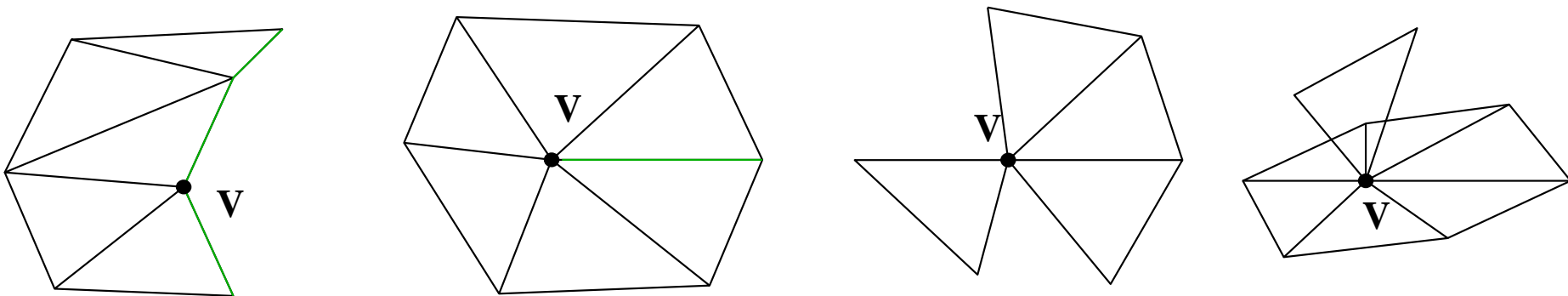
Links: Würfel mit 1-Nachbarschaft von \mathbf{V}_7 ; Rechts: Beispiel einer 1- und 2-Nachbarschaft

2-mannigfaltige Polygon-Netze

Ein *2-mannigfaltiges Polygon-Netz* hat folgende Eigenschaften:

- keine Durchdringung, d.h. Schnitt zweier Polygone ist Punkt, Kante oder leer
- an jeder Kante liegen ein (*Randkante*) oder zwei Polygone (*innere Kante*) an
- Polygone um einen Punkt: *Offener (Randpunkt)* oder *geschlossener Fächer (innerer Punkt)*
- die Fläche ist orientierbar und besteht aus einer *Zusammenhangskomponente*
- und die *Euler-Formel* gilt:
$$N_V - N_E + N_F = 2(1 - N_G) - N_B$$

wobei N_G Anzahl Durchgangslöcher (*Genus*), N_B Anzahl der *Rand-Linienzüge*

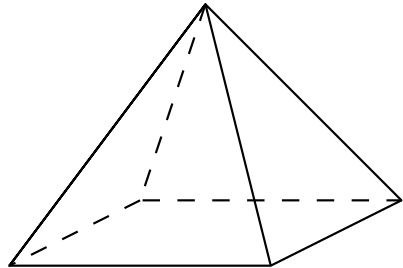


Links: Rand- und innerer Punkt bzw. Kante; Rechts: nicht-mannigfaltige Polygon-Netze

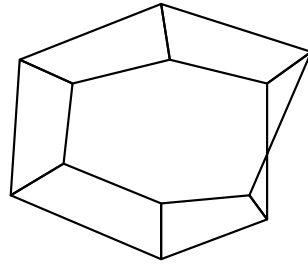
4.1 Grundlagen Polygon-Netze



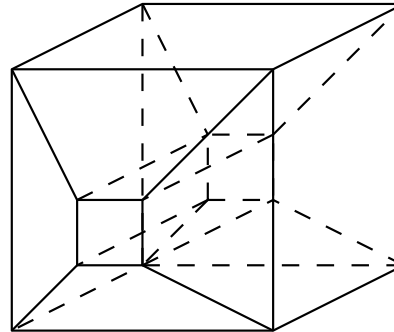
Beispiel: Euler-Formel



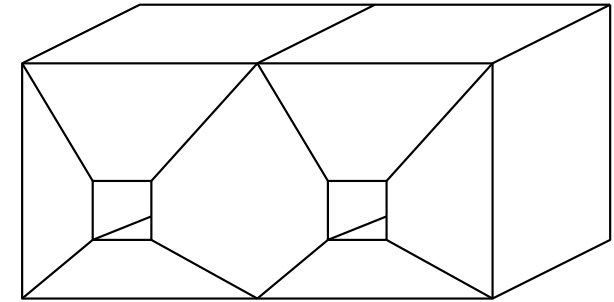
Pyramide
(ohne Boden)



Möbuis-Band



Würfel
(1 Durchgangsloch)



Quader
(2 Durchgangslöcher)

Eulerformel:

Pyramide ohne Boden:

$$N_P - N_E + N_F = 2 - 2 \cdot N_G - N_B$$
$$5 - 8 + 4 = 2 - 0 - 1$$

Möbuisband:

$$N_P - N_E + N_F \stackrel{?}{=} 2 - 2 \cdot N_G - N_B$$
$$12 - 18 + 6 \neq 2 - 0 - 1$$

Würfel mit Durchgangsloch:

$$N_P - N_E + N_F = 2 - 2 \cdot N_G - N_B$$
$$16 - 32 + 16 = 2 - 2 - 0$$

Quader mit 2 Durchgangslöcher:

$$N_P - N_E + N_F = 2 - 2 \cdot N_G - N_B$$
$$28 - 58 + 28 = 2 - 4 - 0$$



4.2 Datenstrukturen für Polygon-Netze



Ziel: Anwendungsoptimierte Repräsentationsstruktur, z.B.

- Effizientes Rendering: Ausschließlich Dreiecke, möglichst geringe Daten(-übertragung)
- Mesh-Editing: Effizienter Zugriff auf Polygondaten, z.B. Nachbarn

Separate Speicherung von *Geometrie* (Punkt-Koord.) und *Topologie* (Verbindungsdaten)

Shared Vertex Format (auch: Indexed Face-Set)

Anwendung: Rendering

Ansatz: Explizite Speicherung der Geometrie, Referenzierung für Topologie

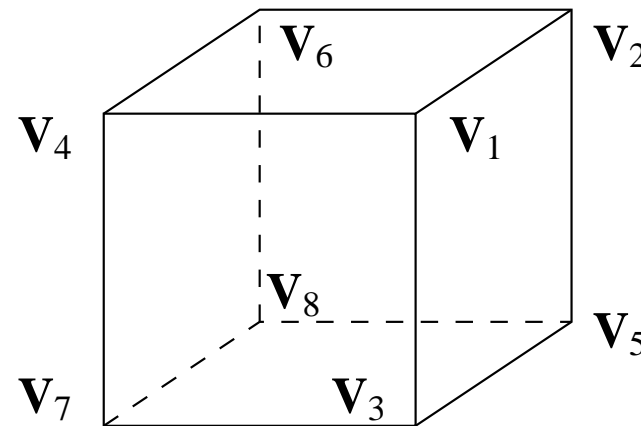
Optimierung in OpenGL:

`GL_TRIANGLE_STRIP,`

`GL_TRIANGLE_FAN,`

`GL_QUAD_STRIP` oder

Vertex-Arrays (CG I)



- Punkte: $\mathbf{V}_i = (x_i, y_i, z_i), i = 1, \dots, 8$
- Flächen: $\mathcal{F} = \{\{1, 3, 5, 2\}, \{1, 4, 7, 3\}, \{1, 2, 6, 4\}, \{8, 5, 3, 7\}, \{8, 6, 2, 5\}, \{8, 7, 4, 6\}\}$



4.2 Datenstrukturen für Polygon-Netze



Winged-Edge Repräsentation

Speicherung von Daten pro

Punkt V_i : Koordinaten und Verweis auf eine Kante (edge)

Polygon F : Verweist auf eine anliegende Kante (edge)

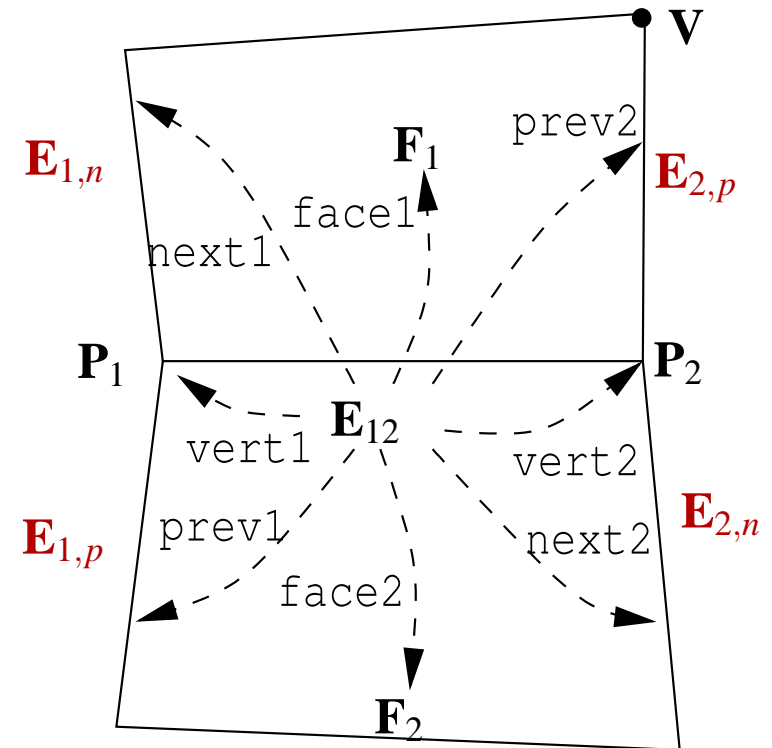
Kante E_{ij} : Verwaltet Verweise auf die anliegenden Punkte (vert1, vert2) und Polygone und je zwei nächsten Kanten um Endpunkte (math. pos. orientiert) (prev1, next1, prev2, next2)

Bemerkung:

Vorteil: Schneller Zugriff auf Kanten und Ecken eines Polygons oder Kanten um eine Ecke

Problem: Orientierte Kante erzwingt if-Statement: Zugriff auf V :

```
if( e_12->prev2->vert1 == e_12->vert2 ) v = e_12->prev2->vert2;
else v = e_12->prev2->vert1;
```



Half-Edge Datenstruktur

Ansatz: Wie Winged-Edge Datenstruktur, allerdings wird Kanteninformation geteilt

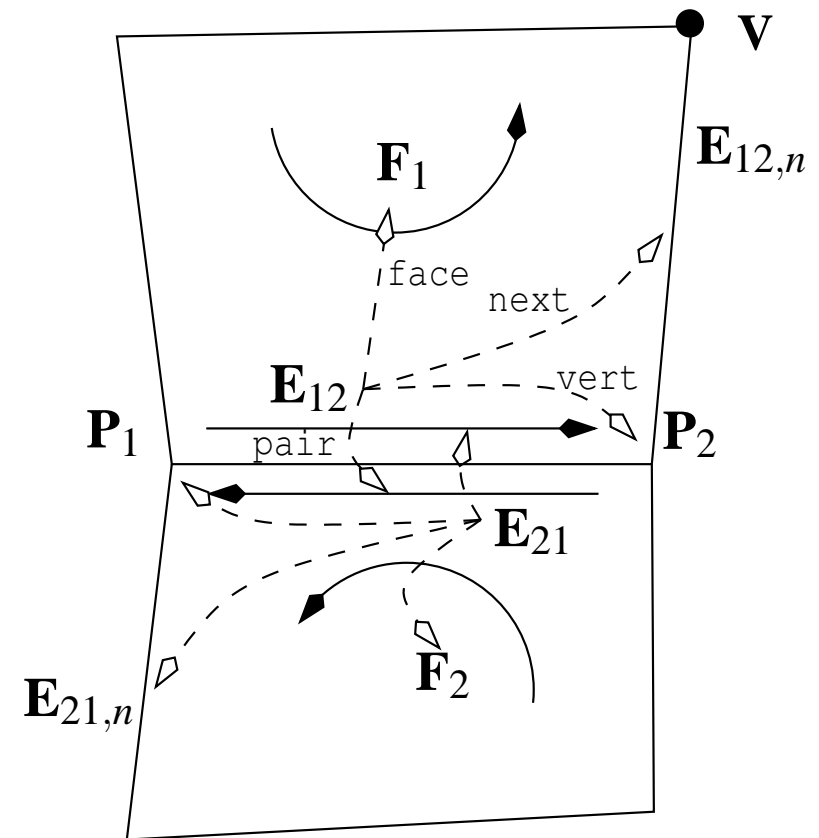
Daten pro Halbkante:

1. Verweis auf Endpunkt (`vert`)
2. Verweis auf andere Halbkante (`pair`)
3. Verweis auf zugehöriges Polygon (`face`)
4. Verweis auf nächste Halbkante (`next`)

Zugriff auf V ohne if-Statement:

$$v = e_{12} \rightarrow \text{next} \rightarrow \text{vert}$$

Beachte: Zwei mehr Verweise pro Kante (zwei Halbkanten) als bei Winged-Edge durch `pair`



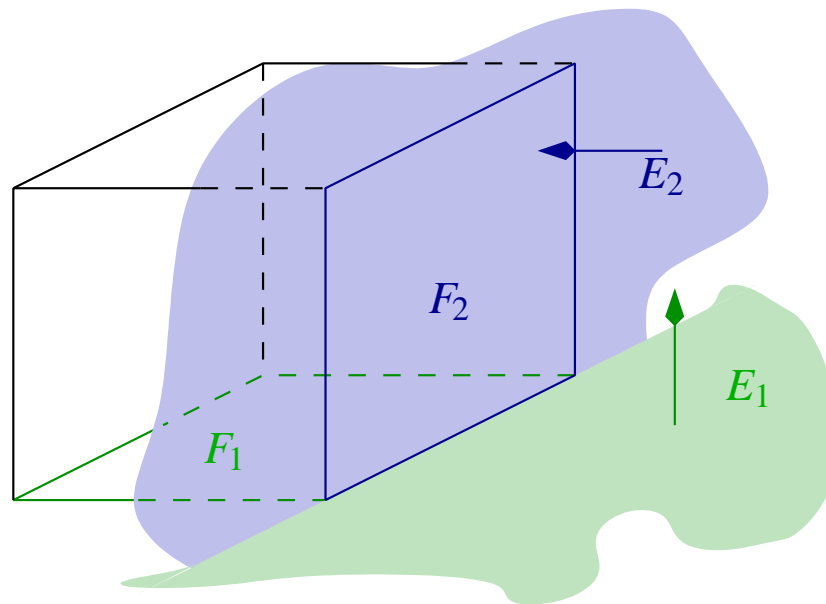
Repräsentation konvexer Polygon-Netze

Konvexe Polygon-Netze: Geschlossene Polygon-Netze, die konvexe Menge \mathcal{M} umschließen
Anwendungen: Hauptsächlich als Bounding-Volumen

Repräsentation: Für ein Polygon $\mathbf{F}_i \in \mathcal{F}$:

Polygon-Ebene $E_i : a_i p_x + b_i p_y + c_i p_z + d_i = 0, \mathbf{P} \in \mathbb{R}^3$

so dass *Halbraum* $\mathcal{H}_i = \{\mathbf{P} : f_i(\mathbf{P}) \geq 0\} \subseteq \mathcal{M}$; dann gilt: $\mathcal{M} = \bigcap_{i=1}^{N_F} \mathcal{H}_i$



4.3 Spezielle Datenstruktur: Terrain-Modellierung



Anwendung: Beobachterabhängige Terrain-Modellierung

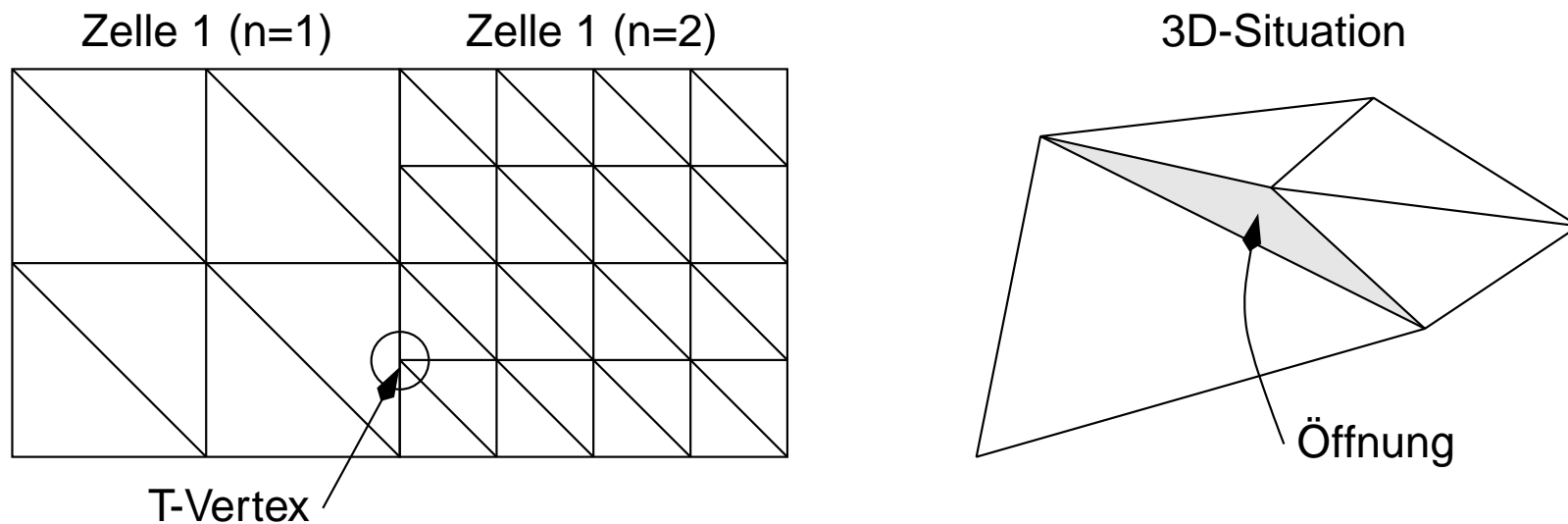
Gegeben: Höheninformation $h(u, v)$ über (u, v) -Ebene in beliebiger Genauigkeit

Ziel: Erzeugung eines Polygon-Netzes, abhängig von Beobachter-Position

Ansatz: 1. Festlegung von grober Auflösung $k \times k$ (Zelle)

2. $2^n \times 2^n$ -Aufteilung jeder Zelle abhängig von Position und Orientierung des Beobachters

Beachte: Verschiedene Aufteilungen erzeugen u.U. *T-Vertices* \Rightarrow Render-Problem



4.3 Spezielle Datenstruktur: Terrain-Modellierung



Ansatz: Th. Ulrich, Gamasutra, 2000

Ausgangslage: Eine Zelle mit *aktivierten (enabled)* Eckpunkten und Zentrum

Unterteilungsregeln:

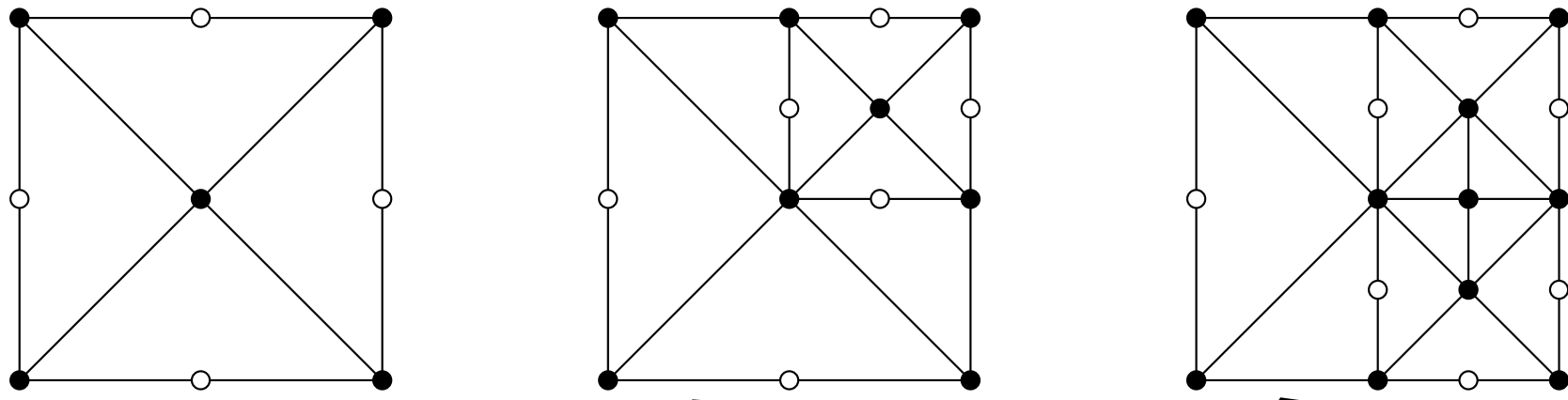
- Aktiviertes Zell-Zentrum erzwingt aktive Zelleckpunkte

- Aktivierter Kanten-Mittelpunkt erzwingt aktives Zellen-Zentrum der Nachbarzelle

Mögliche Entscheidungskriterien:

- Abstand vom Beobachter

- Approximationsgüte des Höhenfelds h , z.B. Kante \mathbf{E}_{ij} : $\left| h\left(\frac{\mathbf{V}_i + \mathbf{V}_j}{2}\right) - \frac{h(\mathbf{V}_i) + h(\mathbf{V}_j)}{2} \right| \geq \epsilon$



- inaktiver Punkt
- aktiver Punkt

aktives NO-Zell-Zentrum

aktive Kantenmitte

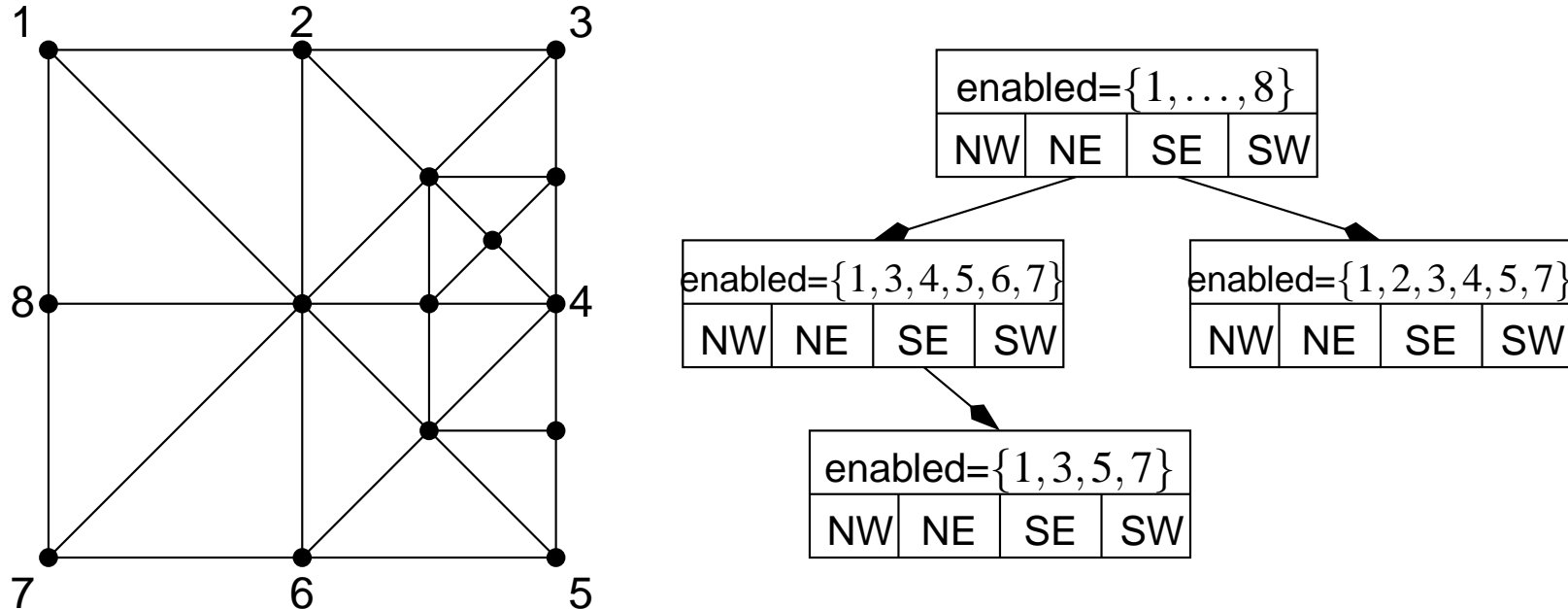


4.3 Spezielle Datenstruktur: Terrain-Modellierung



Ansatz: Th. Ulrich, Gamasutra, 2000 (Forts.)

Speicherung der Zell-Unterteilung in *Quad-Tree*



Rendering der Quad-Tree-Blätter mit `GL_TRIANGLE_FAN`, für Bereiche ohne Sub-Quad

Quelle: Thatcher Ulrich: *Continuous LOD Terrain Meshing Using Adaptive Quadtrees*

www.gamasutra.com/features/20000228/ulrich_01.htm

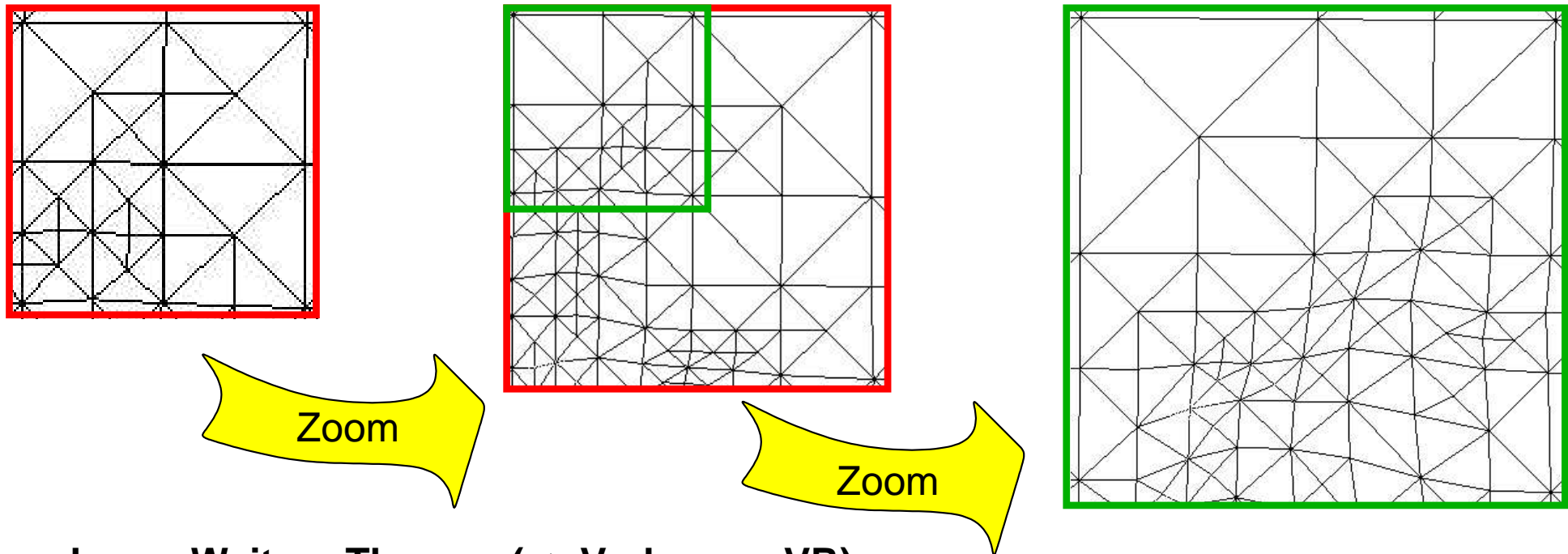


4.3 Spezielle Datenstruktur: Terrain-Modellierung



Beispiel: Th. Ulrich, Gamasutra 2000

Zoom-Folge von oben an ein Terrain:



Bemerkung: Weitere Themen (\Rightarrow Vorlesung VR)

- Mesh-Optimierung, z.B. Glätten
- Mesh-Reduktion
- Mesh-Übertragung (Sequentialisierung)